

التحري عن سلالة صقلية لفيروس تجعد الأوراق الأصفر للبنودرة TYLCSV-Sic على نبات

البنودرة ضمن البيوت المحمية في الساحل السوري

* م. اوس علي حسن ** أ. د. أحمد محمد مهنا

(الإيداع: 21 نيسان 2021 ، القبول: 4 تموز 2021)

الملخص:

تصاب محاصيل الخضار في البيوت المحمية بطيف واسع من الفيروسات النباتية التابعة للجنس *Begomovirus* ومن أهمها فيروس تجعد الأوراق الأصفر للبنودرة Tomato yellow leaf curl virus (TYLCV) مسبباً خسائر اقتصادية كبيرة. هدف هذا البحث إلى الكشف عن سلالة صقلية لفيروس تجعد الأوراق الأصفر للبنودرة Tomato yellow leaf curl virus (TYLCSV-Sic) عند نبات البنودرة *Solanum lycopersicum* L. ضمن البيوت المحمية في محافظة اللاذقية وطرطوس على الساحل السوري. بينت نتائج Generic PCR باستخدام زوج البادئات المتعددة AV494/AC1048 بأن 16 من أصل 19 عينة مصابة بأحد الفيروسات التابعة لجنس *Begomovirus*، كما أظهرت النتائج باستخدام زوج البادئات المتعددة TycpV369/TycpC1023 بأن 15 عينة من أصل 19 مصابة بفيروس TYLCV، بينما أكدت نتائج اختبار تفاعل البلمرة المتسلسل PCR باستخدام زوج البادئات Sa2267/RVC427 أن عينة واحدة من أصل 15 عينة كانت مصابة بسلالة صقلية TYLCSV-Sic، ولم تتفاعل بقية عينات الدراسة مع زوج البادئات ولم تعط أي حزمة ما يدل على أنها عينات حاملة لسلالات أخرى قد تكون سلالات جديدة لفيروس TYLCV ما يحتاج للمزيد من الدراسة على المستوى الجزيئي.

الكلمات المفتاحية: سلالة صقلية، فيروس تجعد الأوراق الأصفر للبنودرة، البيوت المحمية، الساحل السوري.

* طالب دكتوراه - قسم وقاية النبات - جامعة دمشق وباحث في مركز بحوث ودراسات المكافحة الحيوية - كلية الزراعة - جامعة دمشق - سوريا.

** أستاذ في قسم وقاية النبات - كلية الزراعة - جامعة دمشق - سوريا.

Detection of Tomato yellow leaf curl Sardinia virus–Sicily (TYLCSV–Sic)**on tomato in greenhouses in the Syrian Coast****Aus Ali Hasan*****Ahmad Mohammad Mouhanna******(Received: 21 April 2021, Accepted: 4 July 2021)****Abstract:**

Vegetable crops in greenhouses are susceptible to infection with large number of plant viruses belonging to *Begomovirus* especially Tomato yellow leaf curl virus which cause significant economic losses. This study aimed to detect Sicily strain Tomato yellow leaf curl Sardinia virus–Sicily (TYLCSV–Sic) infecting tomato plants *Solanum lycopersicum* L. in greenhouses in the Syrian coast region. Generic PCR using degenerate primer AV494/AC1048 results showed that 16 of 19 samples were infected with Begomoviruses. Also generic PCR using degenerate primer TycopV369/TycopC1023 revealed that 15 of the 19 samples were infected with Tomato yellow leaf curl virus (TYLCV). While PCR results using specific primer Sa2267/RVC427 confirmed the presence of TYLCSV–Sic in one of the 19 samples, whereas other samples didn't react with this primer which indicate that it may be new strains of TYLCV, so there is necessity for more microbiological studies to identify all strains of TYLCV in Syria.

Keywords: Sicily strain, Tomato yellow leaf curl virus, Greenhouses, Syrian coast.

* PhD. Student, Department of plant protection- Faculty of Agriculture – Damascus University – Syria and Researcher at Biological Control Study and Research Center- Faculty of Agriculture- Damascus University- Syria.

** Professor, Department of plant protection – Faculty of Agriculture – Damascus University – Syria.

1. المقدمة:

تعد البنودرة أحد أهم محاصيل الخضار التي تزرع بشكل واسع من أجل ثمارها التي تؤكل طازجة أو تستخدم في عمليات التصنيع الغذائي، وقد انتشرت زراعتها بشكل واسع في سوريا حيث بلغ إنتاج البيوت المحمية 573840 طن لعام 2019 تبعاً لإحصائيات وزارة الزراعة والإصلاح الزراعي (المجموعة الإحصائية السنوية، 2019)، أما عالمياً فتنتشر زراعة البنودرة ضمن البيوت المحمية على مدار العام ما جعلها عرضةً لطيف واسع من الآفات منها الفيروسات النباتية والتي تسبب خسائر اقتصادية كبيرة مقارنةً بباقي العوامل الممرضة للنبات (Pietersen و Rybicki، 1999)، حيث تؤثر على كمية ونوعية المنتجات النباتية وتزيد من حساسية النباتات للإصابة بالعوامل الممرضة الأخرى Biotic factors والعوامل غير الحيوية Abiotic factors أيضاً (Mauck وآخرون، 2015).

تعد فيروسات الجنس *Begomovirus* والتي تتبع عائلة *Geminiviridae* أكبر الأجناس الفيروسية النباتية إذ يضم حوالي 424 نوعاً فيروسيّاً (Zerbini وآخرون، 2017) وأكثرها أهمية من الناحية الاقتصادية خاصة في المناطق المدارية وشبه المدارية، وتنميـز بامتلاكها لمدى عوائـلي واسع في نباتات ثنائية الفلقة كالبنودرة، القطن، الكاسافـا، الفـيلـفـة في مختلف مناطق زراعة هذه المحاصـيل (Anderson و Polston، 1997).

اكتشف فيروس تجدد الأوراق الأصفر للبنودرة Tomato yellow leaf curl virus (TYLCV) للمرة الأولى في وادي الأردن عام 1930 وسُجّلت إصابات مؤقتة في أكثر من 30 بلدًا في مختلف قارات العالم (Czosnek وآخرون، 1988)، وبعد حالياً أحد أهم الفيروسات التابعة لهذا الجنس والذي يسبب أعراضًا تمثل باصفار عام على النبات المصابة وقصر السلاميات وتغيير لون وتشوه شكل الأوراق، فشل في عقد الأزهار، انخفاض حجم ونوعية الثمار في النباتات المصابة مسبباً انخفاضاً في الغلة قد يصل حتى 90-100 % (Glick وآخرون، 2009).

عزل هذا الفيروس في عام 1988 وُصنف ضمن الجنس *Begomovirus* من عائلة الفيروسات الترميمية *Geminiviridae* (Czosnek وآخرون، 1988)، إذ أن الغلاف البروتيني المزدوج المميز لهذه العائلة يحيط بالفيروس (Gronenborn، 2007). جينوم الفيروس من الـ ssDNA أحادي السلسلة حلقي مؤلف من 2800 نكليوتيد، وحدد تتابع النكليوتيدات في عام 1991 (Navot وآخرون، 1991) يحتوي الجينوم على منطقة بين جينية (IR) Intergenic Region بطول حوالي 300 نكليوتيد والتي تنظم تضاعف الفيروس ومن 6 إطارات قراءة مفتوحة ORFs والتي تترجم إلى: الغلاف البروتيني (V1 أو V2)، البروتين المرافق للتضاعف (Rep)، البروتين المنشط للتضاعف (C1)، البروتين المعزز للنسخ (C3)، البروتين المعزز للنسخ (C4)، أو (REn) (Gafni، 2003).

سُجّل عدد كبير من سلالات TYLCV في مناطق مختلفة من العالم، تختلف فيما بينها بالأعراض وشدةـها على النبات العـائلـيـ ويتـابـعـ النـيكـلـوتـيدـاتـ فيـ عـدـدـ مـنـ المـوـاـقـعـ ، سـجـلـتـ السـلـالـاتـ TYLCV-MId و TYLCV-IL و TYLCV-Sic فيـ فـلـسـطـينـ المـحـتـلـةـ، وـيـنـتـشـرـ فيـ الـمـنـطـقـةـ الـعـرـبـيـةـ عـدـدـ آـخـرـ مـنـ سـلـالـاتـ هـذـاـ الـفـيـرـوـسـ مـثـلـ السـلـالـةـ الإـسـبـانـيـةـ TYLCV-ES وـسـلـالـةـ صـفـقـيـةـ TYLCV-om وـسـلـالـةـ العـمـانـيـةـ TYLCV-Anfoka (Anfoka وآخرون، 2008)، وقد لوحظ بأن الإصابة غالباً ما تكون إصابة مختلطة ناتجة عن عدد من سلالات فيروس TYLCV معاً، ما يزيد من حدة الأعراض ويؤدي لمزيد من الخسائر الاقتصادية وذلك من خلال حدوث ارتباطات وراثية Recombination بين سلالات مختلفة لهذا الفيروس (Monci وآخرون، 2002).

تعد سلالة صقلية (TYLCSV-Sic) Tomato yellow leaf curl Sardinia virus-Sicily المعروفة بانتشارها في العديد من دول حوض البحر الأبيض المتوسط حيث سُجّلت في كل من إيطاليا (Davino وآخرون، 2006)، وتونس (Chouchane وآخرون، 2007)، وتركيا (Fidan وآخرون، 2019) مسبباً خسائر اقتصادية فادحة (Navas-Castillo و Moriones، 2000).

ينتقل الفيروس بالطريقة المثابرة الدوارة *Bemisia tabaci* Persistent Circulative Manner بحشرة ذبابة التبغ البيضاء والتي تنتمي للعائلة Aleyrodidae التابعة لرتبة نصفية الأجنحة Hemiptera (Wei وآخرون، 2014). تعد البندورة العائل الرئيسي لهذا الفيروس إضافة لعدد كبير من المحاصيل (Glick وآخرون، 2009). أجري في منطقة الساحل السوري بين عامي 2014-2016 تحري عن سلالات الفيروس TYLCV فُكُشف عن انتشار كل من السلالة المعتدلة TYLCV-MId والشرسة TYLCV-IL في مناطق الدراسة (Hasan وMouhanna، 2016). ونظراً لانتشار أعراض أكثر حدة على بعض أصناف البندورة في الساحل السوري خلال الأعوام 2017-2018 شبيهة إلى حد ما مع أعراض TYLCV تم التحري عن انتشار سلالات أخرى للفيروس وتم التركيز على ما هو مسجل في منطقة حوض البحر الأبيض المتوسط.

2. هدف البحث: الكشف الجزيئي عن وجود سلالة صقلية TYLCSV-Sic في مناطق زراعة البندورة ضمن البيوت المحمية في الساحل السوري.

3. مواد وطرائق البحث:

المسح الحقلّي وجمع العينات:

أجريت زيارات حقلية إلى عدد من البيوت المحمية في الساحل السوري خلال الفترة من كانون أول 2017 وحتى تشرين الثاني 2018، جُمع خلالها 19 عينة أوراق من القمم النامية لبعض نباتات البندورة (جدول 1) والتي أظهرت أعراضًا شبيهة بالأعراض النموذجية التي يسببها فيروس TYLCV (شكل 1).

جمعت العينات من النباتات في طوري الإزهار والعقد والتي أظهرت هذه الأعراض. وضعت في الأزوت السائل مباشرةً ثم نقلت إلى المخبر وحفظت في المجمدة عند درجة حرارة -90° س لحين الاستعمال.



الشكل رقم (1): عينات بندورة تظهر أعراض الاصابة بفيروس TYLCV :

التفاف حواف أوراق البندورة مع تشوه شكل الأوراق وتقرم الأوراق والنبات.

الجدول رقم (1) : موقع جمع عينات البندورة في الساحل السوري والأعراض التي أظهرتها

رمز العينة	المحافظة	الموقع	الأعراض
To1	اللاذقية	سيانو	التنافس حافة أوراق
To2		العبيدية	التنافس حافة واصفار أوراق
To3		البرجان	تقزم النبات
To4		عرب الملك	التنافس حافة واصفار أوراق
To5		بسبيسین	التنافس حافة أوراق
To6		الزهيريات	تجعد أوراق
To7		بستان الجامع	التنافس حافة أوراق
To8		رأس العين	تقزم النبات
To9		بنجارو	تقزم النبات
To10		الشراشير	تجعد أوراق
To11	طرطوس	بارمايا	تقزم النبات
To12		العنزة	التنافس حافة واصفار أوراق
To13		الروضنة	تقزم النبات
To14		السيسنية	التنافس حافة واصفار أوراق
To15		متن الساحل	تقزم النبات
To16		حصين البحر	تجعد أوراق
To17		ميغار شاكر	التنافس حافة أوراق
To18		كرتو	التنافس حافة واصفار أوراق
To19		الجروية	التنافس حافة أوراق

استخلاص الـ DNA:

استخلاص الحمض النووي من هذه العينات حسب طريقة دوديسيل كبريتات صوديوم (SDS Sulfate) الموصوفة من قبل Gilbertson وآخرون (1991) مع بعض التعديلات المعتمدة من قبل حسن ومهنا (2016) بإضافة بروتنياز K لمحلول الاستخلاص ورفع سرعة التتفليل لترسيب أفضل للحمض النووي (SDS: mM 50, Tris- mM 10, mM 500: NaCl, mM 50: EDTA, mM 100: HCl, mM 10: Potassium Acetate, mM 0.1: Proteinase K, 4.5 =pH: mg/ml 0.1). (mg/ml 0.1 :Proteinase K, 4.5 =pH) mM 10 :Potassium Acetate.

اختبار تفاعل البلمرة المتسلسل : (PCR) Polymerase Chain Reaction

أنجز تفاعل الـ PCR ضمن مخبر التقانات الحيوية بكلية الزراعة في جامعة دمشق بحجم كلی 25 ml باستخدام Promega GoTaq® Green Master Mix 2X، وباستخدام البادئات الموضحة في الجدول رقم (2)، ثم نفذت تفاعلات البلمرة المتسلسلة باستخدام جهاز (UK) TC-5000 Thermocyclertechne Ltd. كال التالي: 5 دقائق عند حرارة 94°س للفصل الأولى Initial Denaturation. متتابعةً بـ 40 دورة وفق ما يلي (30 ثانية عند حرارة 94°س لفصل سلسلي Annealing DNA Denaturation DNA) والتي اختلفت تبعاً للبادئ (جدول 1).

2)، دقيقة واحدة عند حرارة 72°C للاستطالة (Extension) 10 دقائق عند حرارة 72°C للاستطالة النهائية Final. رُكِّلت نواتج تضخيم الـ PCR على، هلامة من الأغاروز تركيز 1.5% . Extension

الجدول رقم (2): تسلسل البادئات المستخدمة في اختبارات PCR ودرجات حرارة ارتباط البادئات

Virus	Primer	Sequence 5'→3'	Ann. Tem. (°C)	Gene	DNA Size (bp)	Reference
Begomovirus	AV494 ^a	GCCYATRTAYAGRA AGCCMAG	52	CP	550	(Khan وآخرون، 200 (7
	AC1048 ^a	GGRTTDGARGCAT GHGTACATG				
TYLCV	TycopV369 ^a	ACGCCCGYCTCGA AGGTTCG	53	CP	650	(Wyatt وBrown ، (1996
	TycopC102 ^{3a}	GTACAWGCCATAT ACAATAACAAGGC				
TYLCSV-Sic	Sa2267 ^b	TGGAAAGTACCCC ATTCAAGAACATC	52	MP- Rep	946	(Anfoka وآخرون، (2008
	RVC427 ^b	TGCCTTGGACAAT GGGGACAGCAG				

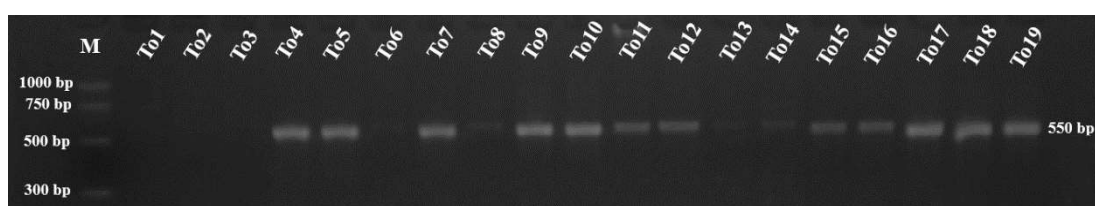
(**W**: A, T; **D**: A, G, T; **H**: A, C, T; **M**: A, C; **R**: A, G; **Y**: C, T)

b=Specific Primers

a=Degenerate Primers

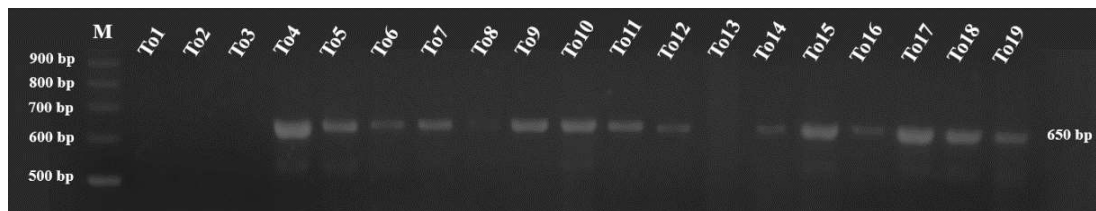
٤. النتائج:

أظهرت نتائج الرحلان الكهربائي لنواتج الدا PCR Generic باستخدام زوج البادئات المتعددة AV494/AC1048 المتخصص بالكشف عن منطقة محافظ عليها ضمن مورثة الغلاف البروتيني CP عند جينوم فيروسات جنس *Begomovirus* وجود تفاعل إيجابي وذلك بتضخيم قطعة بوزن جزيئي 550 bp عند كل العينات المدروسة باستثناء العينات (T01، T02، T03) التي لم يظهر فيها أي تفاعل (شكل 2).



الشكل رقم (2): الرحلان الكهريائي لمنتجات تفاعل البلمرة المتسلسل Generic PCR باستخدام زوج الbadates AV494/AC1048.

وعند إجراء الرحلان الكهربائي لنتائج الـ PCR باستخدام زوج البادئات المتعددة TycpV369/TycpC1023 ظهر تفاعل إيجابي عند كل من العينات المدرستة باستثناء العينات (T01، T02، T03، T04، T05، T06، T07، T08، T09، T10)، وأعطت كل عينة إيجابية حزمة واحدة بوزن جزيئي 650 bp (شكل 3).



الشكل رقم (3): الرحلان الكهربائي لمنتجات تفاعل البلمرة المتسلسل Generic PCR باستخدام البادئات المتعددة .TycpV369/TycpC1023

وباستخدام اختبار تفاعل البلمرة المتسلسل PCR أظهرت النتائج باستخدام زوج البادئات Sa2267/RVC427 المتخصص بالكشف عن سلالة صقلية TYLCSV-Sic وجود تفاعل إيجابي عند العينة T017 والتي أعطت حزمة واحدة بوزن جزيئي 946 bp فيما لم تتفاعل باقي العينات ولم تعط أي حزمة (شكل 4).



الشكل رقم (4): الرحلان الكهربائي لمنتجات تفاعل البلمرة المتسلسل PCR باستخدام زوج البادئات .Sa2267/RVC427

5. مناقشة النتائج:

أجريت الدراسة على 19 عينة لأوراق القمم النامية عند بعض نباتات البندورا التي أخذت من البيوت المحمية في عدة مناطق في الساحل السوري.

تمكن في هذا البحث الكشف عن وجود سلالة صقلية لفيروس تجعد الأوراق الأصفر للبندورا TYLCSV-Sic على نبات البندورا في الساحل السوري باستخدام طريقة تفاعل البلمرة التسليلي (PCR).

أظهرت نتائج اختبار PCR باستخدام زوج البادئات المتعددة AV494/AC1048 بأن 16 من أصل 19 عينة مصابة بأحد الفيروسات التابعة لجنس *Begomovirus* ما يؤشر لوجود انتشار وبائي للفيروسات التابعة لهذا الجنس على مستوى الأمراض الفيروسية التي تصيب محصول البندورا في سوريا.

كما بينت نتائج اختبار Generic PCR باستخدام زوج البادئات المتعددة TycpV369/TycpC1023 بأن 15 عينة من أصل 19 مصابة بفيروس TYLCV بينما لم تتفاعل العينة T013 مع هذه البادئة على الرغم من أنها أعطت تفاعلاً إيجابياً مع زوج البادئات AV494/AC1048 ما يؤشر لإصابتها بأحد الفيروسات التابعة لجنس *Begomovirus* والتي تصيب نبات البندورا.

أكدت نتائج اختبار تفاعل البلمرة المتسلسل PCR باستخدام زوج البادئات Sa2267/RVC427 أن العينة T017 المأخوذة من منطقة ميعار شاكر بمحافظة طرطوس هي عينة لنبات بندورا مصاب بفيروس TYLCV وحامل لسلالة صقلية TYCSV-Sic. بينما لم تتفاعل باقي عينات الدراسة مع زوج البادئات ولم تعط أي حزمة ما يدل على أنها عينات حاملة

لسلالات أخرى قد تكون سلالات جديدة لفيروس TYLCV ما يحتاج للمزيد من الدراسة على المستوى الجزيئي خصوصاً أن دراسات سابقة قام بها Mouhanna Hasan في عام 2016 بيّنت انتشار كل من السلالتين المعتمدة TYLCV-MId والشريحة TYLCV-IL لهذا الفيروس في الساحل السوري ولم يسجل حينها وجود أي من السلالات الأخرى بما فيها سلالة صقلية TYCSV-Sic، وبالتالي تكمن خطورة الكشف عن تواجد هذه السلالة للمرة الأولى في سوريا باعتمادها كمؤشر على سرعة انتشار هذا الفيروس بسلالاته المختلفة على الرغم من إجراءات الوقاية والمكافحة المتخذة كمكافحة الناقل الحيوى بالطرق المختلفة الفيزيائية كالمسائد المختلفة أو الكيميائية كالمبيدات المختلفة (Roditakis وآخرون 2009)، خصوصاً في ظل الانتشار الوسائى العابر للقارب للسلالات المختلفة لهذا الفيروس (Mabvakure وآخرون، 2016)، ما يؤكّد على اعتبار تربية المحاصيل المقاومة للذبابة البيضاء وأو الفيروس أهم طرق وقاية المحاصيل من فيروس TYLCV بسلالاته المختلفة (Shen وآخرون 2020).

6. الاستنتاجات:

1- تصيب السلالات المختلفة لفيروس TYLCV عدداً كبيراً من العوائل النباتية في سوريا في البيوت المحمية مسبباً خسائر اقتصادية فادحة.

2- تعد هذه المرة الأولى التي يتم فيها تسجيل الإصابة بسلالة صقلية TYLCV-Sic على نبات البنودرة في سوريا.

7. التوصيات:

1- إجراء مسح حقلى لمناطق مختلفة من سوريا سواء من البيوت المحمية أو من الحقول المكشوفة، إضافة لأخذ عينات من عوائل أخرى محتملة لهذه السلالة (الفليفلة- الفاصولياء-.....) لتحديد مدى انتشار سلالة صقلية TYLCV-Sic في سوريا.

2- متابعة هذه الدراسة من حيث تحديد التتابع النيكلوتيدى لكامل جينوم الفيروسات للعزلة المحلية المدرosa سلالة صقلية TYLCV-Sic ليتسنى مقارنتها مع السلالات المنتشرة في الدول المجاورة لـ لبنان والأردن وفلسطين وغيرها.

3- إجراء دراسات مستقبلأً تهدف للكشف عن جميع سلالات فيروس TYLCV نظراً لانتشاره الواسع لسلالاته المختلفة على عدد كبير من المحاصيل الزراعية في سوريا.

8. المراجع:

- حسن، أوس علي ومهنا، أحمد محمد (2016). تقييم عدة طرائق لاستخلاص الدNA من نبات الفليفلة *Begomovirus* للكشف عن فيروسات تابعة لجنس *Capsicum annuum L.*. مجلة جامعة البعث، 38(12):196-169.

2. المجموعة الإحصائية السنوية (2019). وزارة الزراعة والإصلاح الزراعي في الجمهورية العربية السورية.

8. References:

- Anfoka, G., Abhary, M., Haj Ahmad, F., (2008). Survey of Tomato yellow leaf curl disease-associated viruses in the Eastern Mediterranean Basin. Journal of Plant Pathology. 90:311–320.
- Chouchane, S.G., Gorsane, F., Nakhla, M.K., Maxwell, D.P., Marrakchi, M., Fakhfakh, H., (2007). First Report of Tomato yellow leaf curl virus-Is Species Infecting Tomato, Pepper and Bean in Tunisia. Journal of Phytopathology, 155:236–240.

3. Czosnek, H., Ber, R., Antignus, Y., Cohen, S., Navot, N., Zamir, D., (1988). Isolation of the Tomato yellow leaf curl virus –a geminivirus. *Phytopathology*, 78:508–512.
4. Davino, S., Napoli, C., Davino, M., Accotto, J.P., (2006). Spread of Tomato yellow leaf curl virus in Sicily: partial displacement of another geminivirus originally present. *European Journal of Plant Pathology*, 114:293–299.
5. Fauquet, C.M., Briddon, R.W., Brown, J.K., Moriones, E., Stanley, J., Zerbini, M., Zhou, X., (2008). *Geminivirus* strain demarcation and nomenclature. *Archives of Virology*, 153:783–821.
6. Fidan, H., Karacaoglu, M., Koc, G., Caglar, B.K., (2019). Tomato yellow leaf curl virus (TYLCV) strains and epidemiological role of *Bemisia tabaci* (Hemiptera: Aleyrodidae) biotypes on tomato agroecology in Turkey. *Applied Ecology and Environmental Research*, 17(4):9131–9144.
7. Gafni, Y., (2003). Tomato yellow leaf curl virus, the intracellular dynamics of a plant DNA virus. *Molecular Plant Pathology*, 4:9–15.
8. Gilbertson, R., Rojas, M., Russell, D., Maxwell, D., (1991). Use of the asymmetric polymerase chain reaction and DNA sequencing to determine genetic variability of bean golden mosaic *Geminivirus* in the Dominican Republic. *Journal of General Virology*, 72:2843– 2848.
9. Glick, M., Levy, Y., Gafni, Y., (2009). The Viral Etiology of Tomato yellow leaf curl Disease – A Review. *Plant Protection Sciences*, 3:81–97.
10. Gronenborn, B., (2007). Tomato yellow leaf curl virus, genome and function of its proteins. In: *Tomato yellow leaf curl virus disease*. Czosnek, H., (Eds.), Springer, The Netherlands, PP:329–342.
11. Hasan, A.A., Mouhanna, A.M., (2016). Detection of Tomato yellow leaf curl virus TYLCV in some vegetable crops in greenhouses and identify its strains in the Syrian Coast. *International Journal of ChemTech Research*, 9(11):278–286.
12. Khan, A.J., Al-Saady, N.A., Al-Mahruki, S., Al-Oufi, M., Al-Subhi, A.M., (2007). Molecular characterization of *Begomovirus* infecting sweet pepper in Oman. *Indian Journal of Biotechnology*, 6:45–51.
13. Mabvakure, B., Martin, D.P., Kraberger, S., Cloete, L., Brunschot, S., Geering, A.D.W., Thomas, J.E., Bananej, K., Lett, J., Lefevre, P., Varsani, A., Harkins, G.W., (2016). Ongoing geographical spread of Tomato yellow leaf curl virus. *Virology*, 498:257–264.

14. Mauck, K.E., Smyers, E., De Moraes, C.M., Mescher, M.C., (2015). Virus infection influences host plant interactions with non- vector herbivores and predators. *Functional Ecology*, 29:662– 673.
15. Monci, F., Sanchez-Campos, S., Navas-Castillo, J., Moriones, E., (2002). A Natural Recombinant between the Geminiviruses Tomato yellow leaf curl Sardinia virus and Tomato yellow leaf curl virus Exhibits a Novel Pathogenic Phenotype and Is Becoming Prevalent in Spanish Populations. *Virology*, 303:317–326.
16. Moriones, E., Navas-Castillo, J., (2000). Tomato yellow leaf curl virus, an emerging virus complex causing epidemics worldwide. *Virus Research*, 71:123–134.
17. Navot, N., Pichersky, E., Zeidan, M., Zamir, D., Czosnek, H., (1991). Tomato yellow leaf curl virus: a whitefly-transmitted Geminivirus with a single genomic component. *Virology*, 185:151–161.
18. Polston, J.E., Anderson, P.K., (1997). The emergence of whitefly-transmitted Geminiviruses in tomato in the Western Hemisphere, *Plant Disease*, 81:1358–1369.
19. Roditakis, E., Grispou, M., Morou, E., Kristoffersen, J.B., Roditakis, N., Nauen, R., (2009). Current status of insecticide resistance in Q biotype *Bemisia tabaci* populations from Crete. *Pest Management Science*, 65:313–322.
20. Rybicki, E.P., Pietersen, G., (1999). Plant virus problems in the developing world. *Adv. Virus Research*, 53:127–175.
21. Shen, X., Yan, Z., Wang, X., Wang, Y., Arens, M., Du, Y., Visser, R.G.F., Kormelink, R., Bai, Y., Wolters, A-MA. (2020). The NLR Protein Encoded by the Resistance Gene Ty-2 Is Triggered by the Replication- Associated Protein Rep/C1 of Tomato yellow leaf curl virus. *Frontiers in Plant Science*, 11:545306.
22. Wei, J., Zhao, J.J., Zhang, T., Li, F.F., Ghanim, M., Zhou, X.P., Ye, G.Y., Liu, S.S., (2014). Specific Cells in the Primary Salivary Glands of the Whitefly *Bemisia tabaci* Control Retention and Transmission of Begomoviruses, *Journal of Virology*, 88(22):13460–13468.
23. Wyatt, S.D., Brown, J.K., (1996). Detection of subgroup III geminivirus isolates in leaf extracts by degenerate primers and polymerase chain reaction. *Phytopathology*, 86:1288–1293.
24. Zerbini, F.M., Briddon, R.W., Idris, A., Martin, D.P., Moriones, E., Navas-Castillo, J., Rivera-Bustamante, R., Roumagnac, P., Varsani, A., (2017). ICTV Virus Taxonomy Profile: *Geminiviridae*. *Journal of General Virology*. 98:131–133.